

Декодирование Q -ных плетеных сверточных МПП-кодов

В. В. Зяблов

Институт проблем передачи информации, Российская академия наук, Москва, Россия
zyablov@iitp.ru

К. А. Кондрашов

Институт проблем передачи информации, Российская академия наук, Москва, Россия
k_kondrashov@iitp.ru

Аннотация

В настоящей работе рассматриваются два q -ных плетеных сверточных кода с малой плотностью проверок (П-СМПП) с двумя и четырьмя кодами-компонентами Рида-Соломона. Исследуются корректирующие способности при жестком декодировании мажоритарным алгоритмом и алгоритмом с введением стираний.

1. Введение

Сверточные МПП-коды [1], обладая хорошей практической возможностью применения, постепенно начинают привлекать все больше и больше внимания. В данной работе исследуются возможности декодирования q -ных плетеных сверточных МПП (j, n_0) -кодов с (n_0, k_0) -кодами-компонентами Рида-Соломона, где j — это количество кодов-компонентов, входящих в плетеный код, а n_0, k_0 — их параметры. В [2] был предложен двоичный П-СМПП $(2, 7)$ -код с кодами-компонентами Хэмминга. Представленный код легко обобщается на случай недвоичного алфавита. При переходе к алфавиту большей размерности особый интерес представляет использование в качестве кодов-компонентов простых кодов с одной проверкой, что позволяет существенно упростить декодирование. При этом для получения хорошей корректирующей способности, очевидно, необходимо увеличить число кодов-компонентов. В [3] был предложен q -ный П-СМПП $(4, 8)$ -код, описана процедура кодирования и исследованы его дистанционные характеристики. Данная статья продолжает исследование корректирующих способностей П-СМПП $(2, 7)$ - и $(4, 8)$ -кодов.

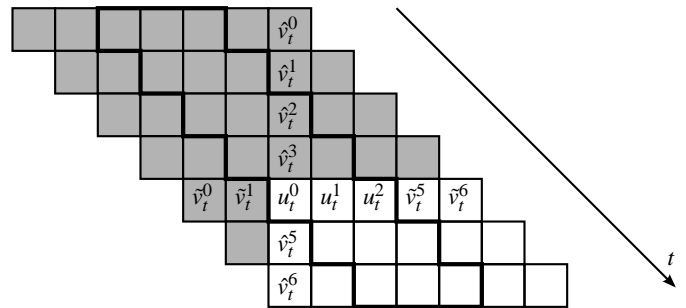


Рис. 1. Представление П-СМПП $(2, 7)$ -кода в виде двумерного массива. Серым выделены закодированные символы.

2. П-СМПП $(2, 7)$ -код

Плетеный сверточный МПП-код, построенный путем пересечения двух блоковых кодов-компонентов — горизонтального и вертикального — был впервые предложен в [2]. Кодовый массив состоит из трех полос. (Рис. 1). При кодировании символы информационной последовательности $\mathbf{u} = [u_0 \ u_1 \ \dots \ u_t \ \dots]$ помещаются в центральную полосу. Проверочные символы кодовых слов вертикального кода-компонента помещаются в нижнюю полосу. Вместе с информационными символами они образуют информационную часть кодов горизонтального кода-компонента, проверочная часть которых помещается в верхнюю полосу и, в свою очередь, формирует информационную часть слов вертикального кода-компонента. Рассмотрим П-СМПП $(2, 7)$ -код с кодами-компонентами $(7, 5)$ -кодами Рида-Соломона. В произвольный момент времени t информационный блок $\mathbf{u}_t = [u_t^0 \ u_t^1 \ u_t^2]$ помещается в центральную полосу. Затем горизонтальный код-компонент кодирует блок $[\tilde{v}_t^0 \ \tilde{v}_t^1 \ u_t^0 \ u_t^1 \ u_t^2]$, выдавая $[\tilde{v}_t^0 \ \tilde{v}_t^1 \ u_t^0 \ u_t^1 \ u_t^2 \ \tilde{v}_t^5 \ \tilde{v}_t^6]$. Вертикальный код-

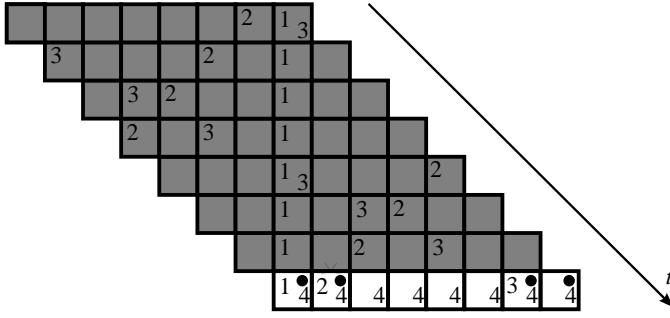


Рис. 2. Представление П–СМПП (4,8)–кода в виде двумерного массива. Индексами обозначена принадлежность символов к одному из четырех кодов–компонентов. Серым выделены закодированные символы. Круглым маркером отмечены позиции проверочных символов.

компонент кодирует блок $[\hat{v}_t^0 \hat{v}_t^1 \hat{v}_t^2 \hat{v}_t^3 u_t^0]$, выдавая $[\hat{v}_t^0 \hat{v}_t^1 \hat{v}_t^2 \hat{v}_t^3 u_t^0 \hat{v}_t^5 \hat{v}_t^6]$. Формируется кодовый блок $v_t = [u_t^0 u_t^1 u_t^2 \hat{v}_t^5 \hat{v}_t^6 \hat{v}_t^5 \hat{v}_t^6]$. Результирующая скорость кода $R = \frac{3}{7}$.

3. П–СМПП (4,8)–код

В П–СМПП (2,7)–коде из [2] используются сильные коды–компоненты с хорошей корректирующей способностью, но их количество ограничено двумя. Увеличение числа кодов–компонентов ценой их упрощения было предложено в [3]. Представленный в [3] П–СМПП (4,8)–код состоит из четырех (8,7)–кодов Рида–Соломона с одной q -ной проверкой на четность (Рис. 2). Кодирование осуществляется схожим образом. В произвольный момент времени t первым шагом кодируются вертикальный и горизонтальные коды–компоненты. Затем информационный блок u_t и полученные проверочные символы кодируются горизонтальным кодом–компонентом. Скорость результирующего кода $R = \frac{1}{2}$.

4. Кодирование

Представленные коды принадлежат классу сверточных МПП–кодов и, наряду со схематичным описанием, могут быть заданы полубесконечной проверочной матрицей сверточного МПП–кода:

$$H^T = \begin{pmatrix} H_0^T(0) & \dots & H_{m_s}^T(m_s) & & \\ & \ddots & & \ddots & \\ & & H_0^T(t) & \dots & H_{m_s}^T(t+m_s) \\ & & & \ddots & \\ & & & & \ddots \end{pmatrix}, \quad (1)$$

где подматрицы $H_i^T(t)$ определяются

проверочными матрицами кодов–компонентов и имеют размерность $n_0 \times j(n_0 - k_0)$, а m_s — размер памяти кода. В любой момент времени t кодовая последовательность удовлетворяет условиям:

$$v_t H_0^T(t) + v_{t-1} H_1^T(t) + \dots + v_{t-m_s} H_{m_s}^T(t) = 0, t \in \mathbb{Z} \quad (2)$$

и

$$v_{[0,t-1]} H_{[0,t+m_s-1]}^T = [0_{[0,t-1]} | s_t], \quad (3)$$

где $s_t = [s_t^0 s_t^1 \dots s_t^{m_s-1}]$ — вектор частичных синдромов, обновляющийся по рекуррентному закону:

$$s_t^i = \begin{cases} s_{t-1}^{i+1} + v_t H_{i+1}^T(t+i+1), & i = 0, \dots, m_s - 2 \\ v_t H_{i+1}^T(t+i+1), & i = m_s - 1. \end{cases} \quad (4)$$

Алгоритм кодирования следует из (3). Кодовые блоки получаются в виде решения системы линейных уравнений

$$v_{t+1} H_0^T(t+1) = -s_t^0. \quad (5)$$

5. Дистанционные свойства кодов

Одной из важнейших характеристик кода, определяющих его корректирующие способности, является минимальное Хэммингово расстояние d_{min} между любыми двумя кодовыми словами. Для сверточных кодов, кодовые слова которых невозможно сравнивать на разных длинах, вводится аналог минимального кодового расстояния — свободное кодовое расстояние. Это минимальное расстояние между любыми кодовыми последовательностями.

$$d_{free} = \min_{v \neq v'} \{d_H(v, v')\}. \quad (6)$$

Для определения d_{free} удобно рассматривать активное расстояние кода d_j — минимальный вес кодовой последовательности, приводящей кодер в нулевое состояние после j информационных блоков.

$$d_j = \min \{ \omega_H(v_{[1,j]}) : v_{[1,j]} H_{[1,j+m_s-1]}^T = 0 \}. \quad (7)$$

Свободное и активные расстояния связаны отношением $d_{free} = \min_j \{d_j\}$. Активные расстояния для различных j мы будем искать среди решений системы линейных уравнений

$$x H_{[1,j+m_s-1]}^T = 0. \quad (8)$$

Найденные значения приведены на (Рис. 3.)

6. Декодирование

В данной работе мы рассматриваем два алгоритма жесткого декодирования: итеративный

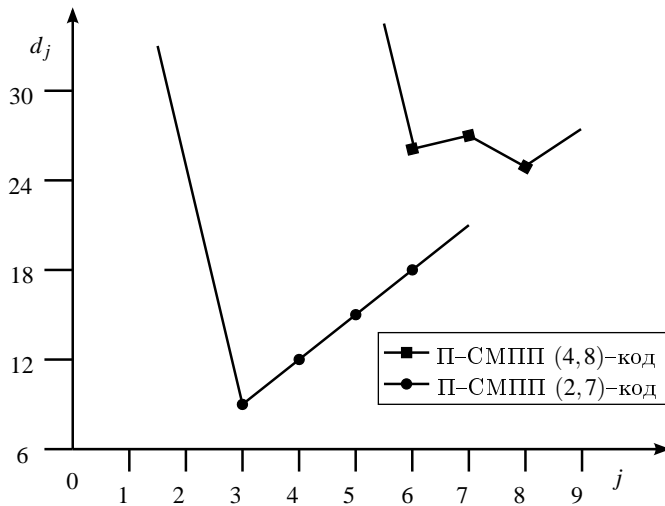


Рис. 3. Активные расстояния

мажоритарный алгоритм \mathcal{A}_1 и расширенный алгоритм \mathcal{A}_2 с введением стираний. Так как кодовое расстояние кодов-компонентов П-СМПП (4,8)-кода $d = 2$, они способны лишь обнаружить одну ошибку, но не исправить ее. Поэтому оба алгоритма \mathcal{A}_1 и \mathcal{A}_2 будут слегка различаться для П-СМПП (2,7)- и (4,8)-кодов. Мы опишем алгоритмы декодирования для П-СМПП (2,7)-кода, а затем уточним различия.

Рассмотрим мажоритарный алгоритм \mathcal{A}_1 . Пусть на вход декодера на i -й итерации подается слово $\mathbf{r}^{(i)}$, где $\mathbf{r}^{(1)}$ – принятое из канала передачи искаженное кодовое слово. Тогда каждая итерация декодирования состоит из следующих шагов:

А л г о р и т м \mathcal{A}_1 :

1. Для каждого кода-компонента k с помощью $\mathcal{D}^{(k)}$, где $\mathcal{D}^{(k)}$ – декодер кода-компонента k , декодируются все соответствующие ему слова из $\mathbf{r}^{(i)}$. Результаты запоминаются в $\mathbf{r}_k^{(i)}$.
2. Создается слово следующей итерации $\mathbf{r}^{(i+1)}$, символы $r_j^{(i+1)}$ которого определяются голосованием – большинством из $r_{k,j}^{(i+1)}$. Если выбор неоднозначен, то берется значение из входного слова $r_j^{(i)}$.
3. Вычисляется синдром $\mathbf{r}^{(i+1)}$. В зависимости от синдрома и номера итерации возможны четыре исхода: переход к следующей итерации, отказ от декодирования, ошибка декодирования, успех декодирования. Если синдром ненулевой и предел итераций не достигнут, осуществляется переход к следующей итерации. Отказ от декодирования происходит при ненулевом синдроме, если исчерпаны итерации или результирующее слово

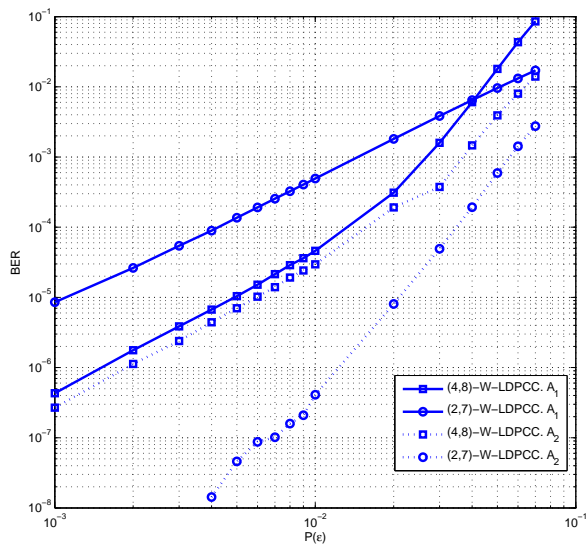
$\mathbf{r}^{(i+1)}$ не отличается от входного $\mathbf{r}^{(i)}$. Нулевой синдром завершает декодирование успехом или ошибкой, в зависимости от того, совпадает ли результирующее кодовое слово $\mathbf{r}^{(i+1)}$ с переданным.

Алгоритм \mathcal{A}_2 представляет собой модифицированный вариант алгоритма \mathcal{A}_1 . Здесь, если после голосования выбор символа неоднозначен, символ заменяется новой буквой из расширенного алфавита – стиранием. Перед переходом к следующей итерации выполняется декодирование с исправлением стираний до полного их устранения.

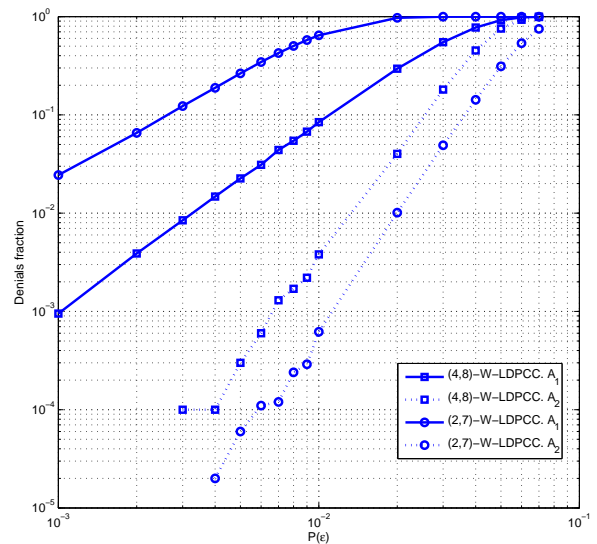
А л г о р и т м \mathcal{A}_2 :

1. Для каждого кода-компонента k с помощью $\mathcal{D}^{(k)}$, где $\mathcal{D}^{(k)}$ – декодер кода-компонента k , декодируются все соответствующие ему слова из $\mathbf{r}^{(i)}$. Результаты запоминаются в $\mathbf{r}_k^{(i)}$.
2. Голосованием по $r_{k,j}^{(i+1)}$ определяются символы $r_j^{(i+1)}$ слова $\mathbf{r}^{(i+1)}$ следующей итерации. Если для некоторого символа выбор неоднозначен, его значение заменяется стиранием.
3. При наличии стираний результирующее слово $\mathbf{r}^{(i+1)}$ декодируется покомпонентно с помощью декодеров кодов-компонентов $\mathcal{E}^{(k)}$, исправляющих стирания. Решение об исправлении для каждого стертых символа принимается по результатам голосования среди кодов-компонентов. В голосовании участвуют коды-компоненты, $\mathcal{E}^{(k)}$ которых сумели исправить данный символ. Декодирование стираний повторяется до полного их устранения или превышения порога числа итераций. Если после декодирования количество стираний не уменьшилось, декодирование завершается отказом.
4. Вычисляется синдром $\mathbf{r}^{(i+1)}$. В зависимости от синдрома и номера итерации происходит переход к следующей итерации или завершение декодирования. Декодирование может завершиться отказом, ошибкой или успехом. Отказ от декодирования происходит при ненулевом синдроме, если исчерпаны итерации или результирующее слово $\mathbf{r}^{(i+1)}$ не отличается от результата предыдущей итерации $\mathbf{r}^{(i)}$. При нулевом синдроме декодирование завершается успехом или ошибкой, в зависимости от того, совпадает ли результирующее кодовое слово $\mathbf{r}^{(i+1)}$ с переданным.

В случае П-СМПП (4,8)-кода в обоих алгоритмах отпадает первый шаг. Так как коды-компоненты с $d = 2$ могут лишь обнаружить одну



(a) Вероятность ошибки на бит



(b) Доля отказов декодирования

Рис. 4. Результаты моделирования

ошибку, то процедура голосования преобразуется следующим образом. Для каждого символа $r_j^{(i+1)}$ вычисляются синдромы соответствующих кодам-компонентам слов, в которые входит данный символ. Решением от каждого кода-компонента будет значение, обращающее соответствующий синдром в ноль. Результирующее значение символа $r_j^{(i+1)}$ выбирается по большинству, а в случае неоднозначного выбора сохраняет значение $r_j^{(i)}$ или заменяется стиранием, в зависимости от алгоритма. Результаты моделирования приведены на Рис. 4.

Список литературы

- [1] A. J. Felström and K. Sh. Zigangirov, Periodic time-varying convolutional codes with low-density parity-check matrices, *IEEE Trans Inf. Theory*, vol. 45, no. 45, 2181–2190, 1999
- [2] A. J. Felström, M. Lentmaier, D. V. Truhachev and K. Sh. Zigangirov, Braided block codes, *IEEE Trans Inf. Theory submission*, 2006
- [3] V. V. Zyablov and K. A. Kondrashov, Two LDPC-constructions *Information Technologies and Systems Workshop, Bicasovo, Russia, 2009* 156–159.